

Pracownia projektowa:

50-319 WROCLAW
 ul. B. Prusa 9, pok. 303-305
 tel. (0-71) 328-28-45, 328-01-31(32); fax 328-28-45
 e-mail: biuro@promost.wroc.pl



OBLICZENIA STATYCZNE

RURY OSŁONOWEJ STALOWEJ Ø 355MM

DLA WYKONANIA PRZEJŚCIA KANALIZACJI SANITARNEJ DN200 MM POD TORAMI KOLEJOWYMI LINII NR 355 RELACJI OSTRÓW WKP. – GRABOWNO W. W KM 47.292

Numer dokumentacji: **TK 00/07-21**

Inwestycja: **Kanalizacja sanitarna dla wsi Chelstówek**

Zleceniodawca: **UTBI – '71 Usługi Techniczne Budownictwa Inżynieryjnego
 ul. Limanowska 3, 56-400 OLEŚNICA**

Lokalizacja: **Przejście pod torami linii kolejowej nr 355
 relacji Ostrów Wkp. – Grabowno W. w km 47.292
 Dz. Nr 1 AM-31 należąca do PKP**

Opracowali:	Nr i zakres uprawnień	Podpis
mgr inż. Edmund Budka	305/98/UW do projektowania i kierowania robotami bud. bez ograniczeń w specj. konstr. – bud.	mgr inż. EDMUND BUDKA Uprawnienia budowlane do projektowania i kierowania robotami budowlanymi bez ograniczeń w specjalności konstrukcyjno-budowlanej nr ewid. 305/98/UW
mgr inż. Szymon Gruba	-----	<i>Szymon Gruba</i>

2. OBLICZENIA

2.1 Schematy statyczne rury

2.1.1 Schemat Nr 1 - przekrój poprzeczny rury:

- pierścień o jednostkowej szerokości (aproxymowany wielobokiem foremnym, $n = 24$)
- obciążenia obliczeniowe stałe i zmienne (ruchome) z uwzgl. zróżnicowanych wsp. obciążenia
- podparcie sprężyste w ośrodku gruntowym

2.1.2 Schemat Nr 2 - przekrój podłużny rury:

- belka na podłożu sprężystym
- obciążenia obliczeniowe, podłoże Winklera

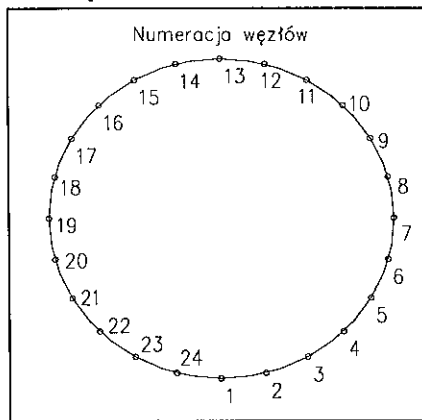
2.1.3 Schemat Nr 3 - faza wciskania rury z uwzględnieniem eksploatacji toru

- pręt wciskany

2.2 Obliczenia schematu 1

2.2.1 Dane do obliczeń

Geometria węzłów dla schematu Nr1 ($r = 0,173\text{m}$)



Uwagi: - rozkład obciążenia ruchomego i stałego nawierzchni wg PN-85/S-10030
(p.7.3.3 - $B = 3,00\text{ m}$ na głębokości $0,50\text{ m}$ poniżej wierzchu podkładu)

- rozkład obciążeń w warstwie nasypu
pod kątem tarcia wewnętrznego $\Pi/4 + \Phi/2$

- współczynniki obciążenia γ_f (niekorzystny układ obciążenia)

obciążenia pionowe:	1,50	ruchome PKP
	1,20	stałe
obciążenia poziome	0,90	stałe (parcie spoczynkowe gruntu)

- współczynnik dynamiczny:

parcie poziome od obciążenia ruchomego	$\phi = 1,000$
obciążenie ruchome pionowe ($h_n > 1,0\text{ m}$)	$\phi = 1,000$

- współczynnik klasyfikacyjny linii kolejowej

$\alpha_k = 1,21$

- parametry obliczeniowe ośrodka gruntowego: (poz. 1.6.4 , 1.6.9)

nasyp:	$\gamma = 19,0$	podłoże:	20,0	kN/m^3
	$\Phi = 38,0$		6,0	$^\circ$
	$c = 0,0$		0,034	kPa

- współczynnik podatności podłoża (podpory sprężyste) - wg poz. 1.6.9 (str.288)

$k_z = E_o / [\omega (1 - \nu^2)]$	$E_o = 30,00$	7,5	
$k_z = 10,79\text{ MPa}$	$\omega = 3,00$	4,00	$L = 30,0\text{ m}$
$k_{z2} = 1,95\text{ MPa}$	$\nu = 0,27$	0,2	$B = 0,36\text{ m}$

2.2.2 Obciążenia stałe

- ciężar nawierzchni kolejowej:	[kN/m ²]	$\gamma_f = 1,00$	$\gamma_f = 1,20$	$\gamma_f = 0,90$
szyny S60	1,20 / 3,00 =	0,400	0,480	0,360
podkłady kolejowe drewniane	1,60 / 3,00 =	0,533	0,640	0,480
podsyпка tłuczniowa	20,0 x 0,50 =	10,000	12,000	9,000
	$g_n =$	10,933	13,120	9,840

- wysokość zastępczej warstwy gruntu: $h_z = g_n / \gamma$ [m] 0,575 0,691 0,518
 (wsp. $\gamma_f = 0,90$ - do obliczeń parcia gruntu) (obc.pion.) (obc.poz.)

- obciążenie pionowe stałe obliczeniowe: $\sigma_{(z)}^0 = 1,20 \gamma (z + h_z)$
 - parcie poziome od obciążenia jw.: $g_{h(z)}^0 = p$
 (wg 1.4.2.) ---> $K = \text{tg}^2(45^\circ - \Phi/2) = 0,237883$

Nr węzła	γ [kN/m ³]	$Z_{osi} + h_z^c$ [m]	$Z_{osi} + h_z^{1,2}$ [m]	$g_{(z)}^0$ [kN/m ²]	K	$Z_{osi} + h_z^{0,9}$ [m]	$g_{h(z)}^0$ [kN/m ²]	$\sigma_{(z)}^0$ [kN/m ²]
13	19,0	7,075	7,191	89,852	0,24	7,018	37,559	163,944
12 14	19,0	7,075	7,191	89,852	0,24	7,018	37,559	163,944
11 15	19,0	7,075	7,191	89,852	0,24	7,018	37,559	163,944
10 16	19,0	7,075	7,191	89,852	0,24	7,018	37,559	163,944
9 17	19,0	7,075	7,191	89,852	0,24	7,018	37,559	163,944
8 18	19,0	7,075	7,191	89,852	0,24	7,018	37,559	163,944
7 19	19,0	7,075	7,191	89,852	0,24	7,018	37,559	163,944
6 20	19,0	7,075	7,191	89,852	0,24	7,018	37,559	163,944
5 21	19,0	7,075	7,191	89,852	0,24	7,018	37,559	163,944
4 22	19,0	7,075	7,191	89,852	0,24	7,018	37,559	163,944
3 23	19,0	7,075	7,191	89,852	0,24	7,018	37,559	163,944
2 24	19,0	7,075	7,191	89,852	0,24	7,018	37,559	163,944
1	19,0	7,075	7,191	89,852	0,24	7,018	37,559	163,944

2.2.3 Obciążenia ruchome

- obciążenie charakterystyczne (liniowe, równomiernie rozłożone):

$$p_1 = 1,21 \times 80 \times 1,00 = 96,800 \text{ kN/m}$$

$$p_2 = 1,21 \times 156 \times 1,00 = 188,760 \text{ kN/m}$$

- obciążenie charakterystyczne (na poz. -0,50m poniżej wierzchu podkładu - B = 3,00 m)

obciążenie równomiernie rozłożone (pow.):

$$p_1^* = 96,800 / 3,00 = 32,267 \text{ kN/m}^2$$

$$p_2^* = 188,760 / 3,00 = 62,920 \text{ kN/m}^2 \quad (L = 6,40 \text{ m})$$

- rozkład obciążenia na głębokości "z" (mierzonej od poz. -0,50m poniżej wierzchu podkładu):

symetryczny pod kątem $\Pi/4 + \Phi/2$ (dla gruntów piaszczystych)

(zastosowano do obliczeń) $\Phi^* = 38,0^\circ$

$$p_{(z)} = p_1 / B_{(z)} + 6,40 (p_2 - p_1) / (L_{(z)} B_{(z)})$$

$$B_{(z)} = 3,00 + 1,80 z$$

$$L_{(z)} = 6,40 + 1,80 z$$

- obciążenie ruchome obliczeniowe: $p_{(z)}^0 = 1,50 p_{(z)}$

- parcie poziome od obciążenia jw.: $p_{h(z)}^0 = K p_{(z)}^0$
 (wg 1.4.2.) ---> $K = \text{tg}^2(45^\circ - \Phi/2) = 0,2379$

- wyniki obliczeń obliczeniowych obciążeń ruchomych i oblicz. parcia gruntu od obciąż. jw.:

Nr węzła	z [m]	B _(z) [m]	L _(z) [m]	P _(z) [kN/m ²]	P _(z) ^o [kN/m ²]	K	P _{h(z)} ^o [kN/m ²]
13	6,323	9,167	12,567	15,668	23,501	0,24	5,591
12 14	6,323	9,167	12,567	15,668	23,501	0,24	5,591
11 15	6,323	9,167	12,567	15,668	23,501	0,24	5,591
10 16	6,323	9,167	12,567	15,668	23,501	0,24	5,591
9 17	6,323	9,167	12,567	15,668	23,501	0,24	5,591
8 18	6,323	9,167	12,567	15,668	23,501	0,24	5,591
7 19	6,323	9,167	12,567	15,668	23,501	0,24	5,591
6 20	6,323	9,167	12,567	15,668	23,501	0,24	5,591
5 21	6,323	9,167	12,567	15,668	23,501	0,24	5,591
4 22	6,323	9,167	12,567	15,668	23,501	0,24	5,591
3 23	6,323	9,167	12,567	15,668	23,501	0,24	5,591
2 24	6,323	9,167	12,567	15,668	23,501	0,24	5,591
1	6,323	9,167	12,567	15,668	23,501	0,24	5,591

2.2.4 Sumaryczne obciążenia obliczeniowe

- zestawienie na 1m długości rury przeciskowej

Nr węzła	g(z)o [kN/m]	p(z)o [kN/m]	q(z)o [kN/m]	g _h (z)o [kN/m]	p _h (z)o [kN/m]	q _h (z)o [kN/m]
13	89,852	23,501	113,353	37,559	5,591	43,150
12 14	89,852	23,501	113,353	37,559	5,591	43,150
11 15	89,852	23,501	113,353	37,559	5,591	43,150
10 16	89,852	23,501	113,353	37,559	5,591	43,150
9 17	89,852	23,501	113,353	37,559	5,591	43,150
8 18	89,852	23,501	113,353	37,559	5,591	43,150
7 19	89,852	23,501	113,353	37,559	5,591	43,150
6 20	89,852	23,501	113,353	37,559	5,591	43,150
5 21	89,852	23,501	113,353	37,559	5,591	43,150
4 22	89,852	23,501	113,353	37,559	5,591	43,150
3 23	89,852	23,501	113,353	37,559	5,591	43,150
2 24	89,852	23,501	113,353	37,559	5,591	43,150
1	89,852	23,501	113,353	37,559	5,591	43,150

- zestawienie obciążeń do obliczeń programem ROBOT Millenium

Nr pręta	Obciąż. pionowe
12 13	113,353
11 14	113,353
10 15	113,353
9 16	113,353
8 17	113,353
7 18	113,353
6 19	-113,353
5 20	-113,353
4 21	-113,353
3 22	-113,353
2 23	-113,353
1 24	-113,353

[kN/m]

Nr pręta	Obciąż. poziome
13	43,150
14	43,150
15	43,150
16	43,150
17	43,150
18	43,150
19	43,150
20	43,150
21	43,150
22	43,150
23	43,150
24	43,150

[kN/m]

Nr pręta	Obciąż. poziome
12	-43,150
11	-43,150
10	-43,150
9	-43,150
8	-43,150
7	-43,150
6	-43,150
5	-43,150
4	-43,150
3	-43,150
2	-43,150
1	-43,150

[kN/m]

2.2.5 Wyniki obliczeń programem ROBOT Millennium

Schemat Nr1

Nr węzła	Siła osiowa [kN]	Moment [kNm]
13	7,405	0,513
12 14	7,816	0,442
11 15	9,731	0,250
10 16	12,637	-0,013
9 17	15,755	-0,276
8 18	18,250	-0,469
7 19	19,454	-0,539
6 20	19,043	-0,469
5 21	17,128	-0,276
4 22	14,223	-0,013
3 23	11,105	0,250
2 24	8,609	0,442
1	7,405	0,513

2.2.7 Naprężenia w płaszczu rury (schemat Nr1)

$$F = 0,0088 \text{ m}^2$$

$$W = 0,0000129 \text{ m}^3$$

$$\sigma = N / F + M / W$$

Nr węzła	σ_M [MPa]	σ_N [MPa]	σ [MPa]
13	39,7	0,8	40,6
12 14	34,3	0,9	35,1
11 15	19,3	1,1	20,4
10 16	1,0	1,4	2,5
9 17	21,4	1,8	23,2
8 18	36,3	2,1	38,4
7 19	41,8	2,2	44,0
6 20	36,3	2,2	38,5
5 21	21,4	1,9	23,4
4 22	1,0	1,6	2,6
3 23	19,3	1,3	20,6
2 24	34,3	1,0	35,2
1	39,7	0,8	40,6

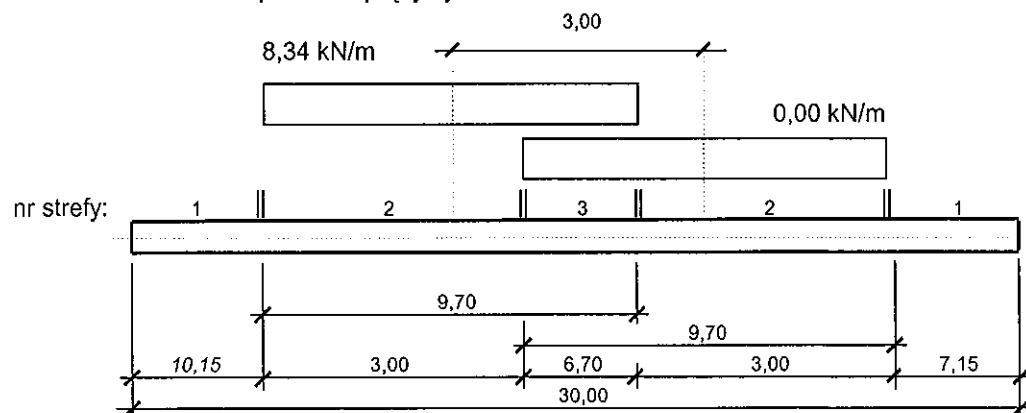
Naprężenia maksymalne wynoszą $\sigma = 44,0$ MPa

Wyniki obliczeń w postaci graficznej przedstawiono na rys. 1 i 2.

2.3 Obliczenia dla schematu Nr2

2.3.1 Schemat geometryczny

- belka na podłożu sprężystym



2.3.2 Obciążenia

- obciążenie w strefie torów linii kolejowej: (tor 1) $p = 23,5 \cdot 0,355 = 8,34$ kN/m
- obciążenie w strefie torów linii kolejowej: (tor 2) $0,00$ kN/m
- belka na podłożu sprężystym $k_z = 1,95$ MPa

2.3.3 Wyniki obliczeń programem ROBOT Millennium - maksymalne wartości sił wewnętrznych

Schemat Nr2

Moment [kNm]	Siła tnąca [kN]
13,36	8,01

2.3.4 Naprężenia w płaszczu rury (schemat Nr2)

$F = 96 \text{ cm}^2$ rura $D_z = 355,0\text{mm}$; $g = 8,8\text{mm}$
 $W = 808 \text{ cm}^3$

	węzeł 1	
$\sigma =$	16,53	[MPa]
$\tau =$	0,84	[MPa]

Wyniki obliczeń w postaci graficznej przedstawiono na rys. 3 i 4.

2.5 Obliczenia schematu Nr 3

(ściskanie rury - faza wciskania)

$$\begin{aligned}
 p_s &= 400,00 \text{ [kPa]} \\
 D_m &= 0,36 \text{ [m]} \\
 t &= 0,08 \text{ [m]} \\
 P_s = \pi D_m t p_s &= 0,00 \text{ [kN]} && \text{Opór skrawania} \\
 P_B &= 100,00 \text{ [kN]} && \text{Opór przodka} \\
 S = P_B + P_s &= 100,00 \text{ [kN]} && \text{Opór wciskania} \\
 M_1 &= 10,00 \text{ [kPa]} \\
 R_1 = M_1 D \pi l &= 334,41 \text{ [kN]} && \text{Szacunkowa siła tarcia po poboczniczy} \\
 N_2 = 2(p_{Ev} + p_{Eh})D &= 75,38 \text{ [kN/m]} \\
 \mu &= 0,20 \\
 M_2 = N_2 \mu &= 15,08 \text{ [kN/m]} \\
 R_2 = M_2 l &= 452,31 \text{ [kN]} && \text{Obliczona siła tarcia po poboczniczy} \\
 N = S + R_2 &= 552,31 \text{ kN}
 \end{aligned}$$

- naprężenia normalne osiowe w rurze od oporu gruntu:

$$\sigma_{x1} = 1,08 \times 552,3 / 0,0096 / 1000 = 62,3 \text{ MPa}$$

3. ANALIZA WYNIKÓW OBLICZEŃ

Do analizy wytrzymałościowej rury nośnej, na korzyść bezpieczeństwa, przyjęto naprężenia ekstremalne z poszczególnych schematów obciążeń, bez określania numeru węzła, którego one dotyczą.

- naprężenia normalne osiowe w rurze od oporu gruntu (schemat trzeci):

$$\sigma_{x1} = 62,3 \text{ MPa}$$

- naprężenia normalne osiowe w rurze od zginania belki na podłożu Winklera (schemat drugi):

$$\sigma_{x2} = 16,5 \text{ MPa}$$

- naprężenia styczne osiowe w rurze od zginania belki na podłożu Winklera (schemat drugi):

$$\tau_{xy} = 0,8 \text{ MPa}$$

- naprężenia normalne obwodowe w rurze od zginania płaszczka rury (schemat pierwszy):

$$\sigma_y = 44,0 \text{ MPa}$$

Kryterium wytrzymałościowe w fazie montażu dla przestrzennego stanu naprężenia:

$$\sigma_{red1} = \frac{1}{\sqrt{2}} \sqrt{(\sigma_{x1} + \sigma_{x2} + \sigma_y)^2 + (\sigma_y)^2 + (\sigma_{x1} + \sigma_{x2})^2 + 6\tau_{xy}} \leq 1,10 \cdot R$$

$$\sigma_{red1} = 107,8 \text{ MPa} < R = 220 \text{ MPa} \quad \text{warunek jest spełniony}$$

Kryterium wytrzymałościowe w fazie eksploatacji dla przestrzennego stanu naprężenia:

$$\sigma_{red2} = \frac{1}{\sqrt{2}} \sqrt{(\sigma_{x2} + \sigma_y)^2 + (\sigma_y)^2 + (\sigma_{x2})^2 + 6\tau_{xy}} \leq R$$

$$\sigma_{red2} = 54,2 \text{ MPa} < R = 200 \text{ MPa} \quad \text{warunek jest spełniony}$$

4. OCENA NOŚNOŚCI

A. Wyniki obliczeń statyczno-wytrzymałościowych przedmiotowej rury dla równoczesnego działania dwóch analizowanych schematów (eksploatacja – zginanie w płaszczyźnie przekroju i zginanie belki na podłożu sprężystym) wykazały, że maksymalne naprężenia wynoszą:

$$54,2 \text{ MPa} \quad \text{i są mniejsze od wytrzymałości obliczeniowej materiału} \quad R = 200 \text{ MPa}$$

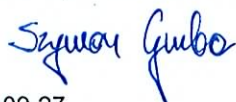
B. Dla równoczesnego działania trzech schematów obciążeń (podczas wykonywania przejścia) maksymalne naprężenia sumaryczne wynoszą:

$$107,8 \text{ MPa} \quad \text{i są mniejsze od 110\% wytrzymałości obliczeniowej materiału} \quad R = 220 \text{ MPa}$$

C. W związku z powyższym stwierdza się, że parametry przyjętej rury nośnej: (Stal R35), średnica 355,0mm i grubość ścianki 8,8mm, są właściwe pod względem wytrzymałościowym dla projektowanego przejścia.

Opracował:

mgr inż. Szymon Gruba



Wrocław 2007-09-27

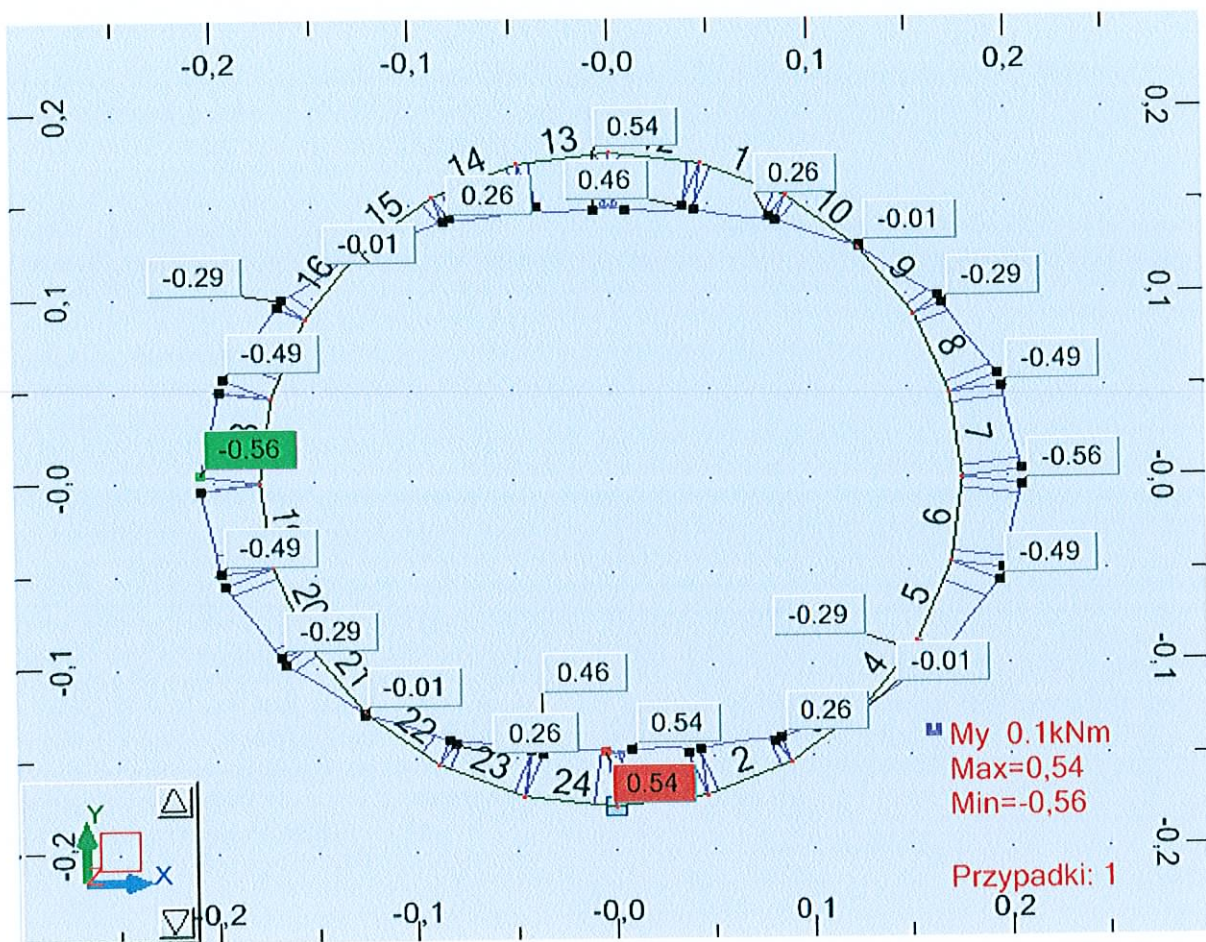
Projektant:

mgr inż. Edmund Budka

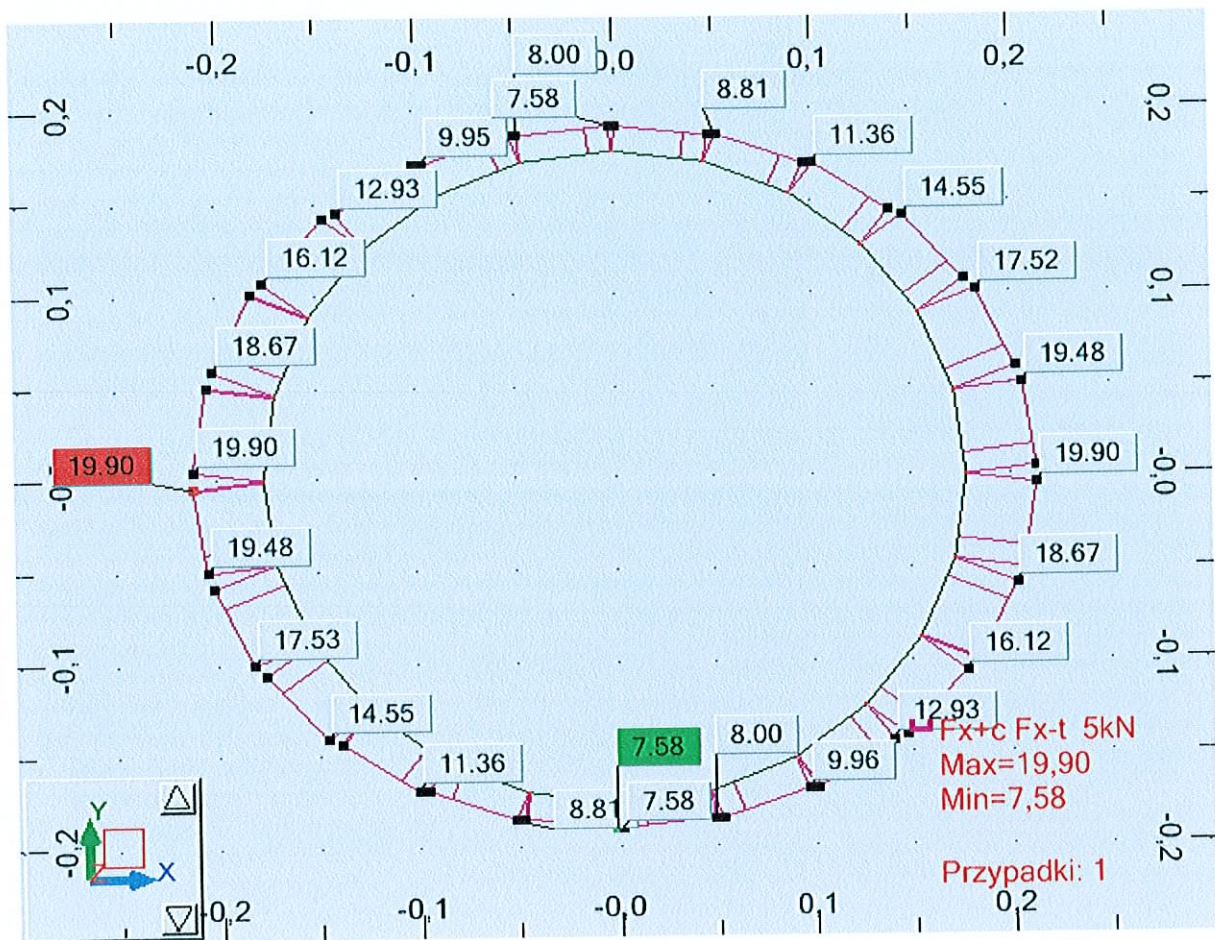
mgr inż. EDMUND BUDKA
Uprawnienia budowlane do projektowania
i kierowania robotami budowlanymi
w specjalności konstrukcyjno-budowlanej
nr zwid. 305/98/UW



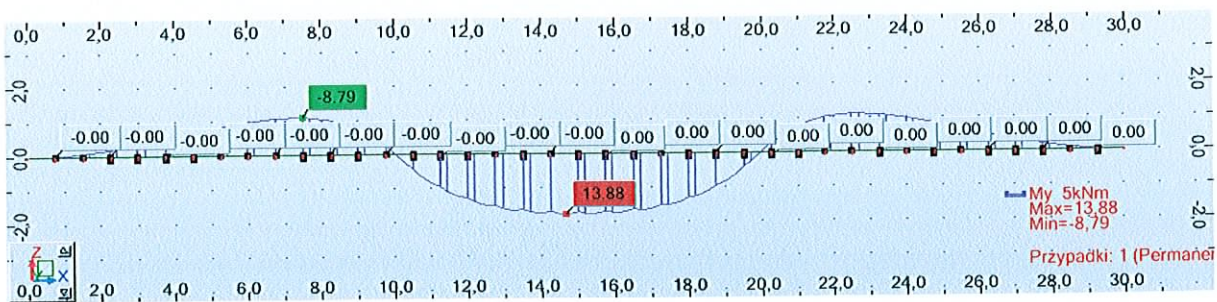
Rys. 1. Wykres momentów zginających w płaszczyźnie rury [kNm/m].



Rys. 2. Wartości sił osiowych w płaszczu rury [kN/m].



Rys. 3. Belka na podłożu Winklera - wykres momentów zginających [kNm].



Rys. 4. Belka na podłożu Winklera - deformacja (przemieszczenia pionowe)

